

LEGENDA

COMPLESSI DEI TERRENI DI COPERTURA

| DESCRIZIONE | TIPO DI UNITA' GEOMORFOLOGICA | PERMEABILITA' | | GRADO DI PERMEABILITA' (m/s) | | | | |
|---|-------------------------------|---------------|------------|------------------------------|------------------|------------------|------------------|------|
| | | Praticabile | Permeabile | 10 ⁻⁹ | 10 ⁻⁷ | 10 ⁻⁵ | 10 ⁻³ | Alto |
| Complesso argilloso-limoso Argille limose e argille sabbiose a struttura caotica o indistinta, con abbondanti resti vegetali e frequenti ghiaie poligheriche da angostose a sub-angostose. Localmente si rinvengono passaggi di sabbie argillose e argilloso-sabbiose a struttura caotica o indistinta, con abbondanti resti vegetali e frequenti ghiaie poligheriche da angostose a sub-angostose. | ec | | | | | | | |
| Complesso sabbioso-limoso Sabbie limose, sabbie, limi argilloso-sabbiosi e argille limose a stratificazione indistinta o incrociata, con abbondanti lenti di ghiaie poligheriche da sub-angostose ad angostose in matrici sabbiose e sabbioso-limoso, con abbondanti resti vegetali. | at | | | | | | | |

COMPLESSI DELLE UNITA' DEL SUBSTRATO

| DESCRIZIONE | TIPO DI UNITA' GEOMORFOLOGICA | 10 ⁻⁹ | 10 ⁻⁷ | 10 ⁻⁵ | 10 ⁻³ |
|--|-------------------------------|------------------|------------------|------------------|------------------|
| Complesso argilloso-marnoso Argille limose, argille limoso-marnose e argille marnose a struttura scagliosa o indistinta, talora stratificata, brecciate o a blocchetti poliedrici, con sottili livelli di sabbie, sabbie limose e limi sabbiosi, che generano aumenti locali della permeabilità, disegni e forme distorcute laminate e fessili. Localmente si rinvengono intercalazioni di depositi meliorativi, calcari microidi, arenarie e marne, talora sono presenti olotidi idrometrici di quarzani, gessi, calcari evaporitici e calcari detritici. | dnhs | | | | |
| Complesso conglomerato-arenaceo Conglomerati a clasti poligovici ed eterometrici, da sub-angostose ad angostose, in matrici sabbiose e sabbioso-limoso prevalentemente abbondanti, da poco a ben laminati, calcareni e arenarie cementificate e a stratificazione incrociata, con effusi livelli bicolori, localmente si rinvengono passaggi di sabbie e sabbie limose in strati da molto sottili a medi, da sciolte a poco cementate. | dnhs | | | | |
| Complesso gessoso-marnoso Gessi selenitici, micromicostallini, in strati deformati sottilmente laminati, a gessi massivi ricostituiti in gessi cristallini, talora alternati ad argille gessose; marne, marne argillose e argille marnose in strati da molto sottili a medi, con frequenti livelli cementificati di sabbie, localmente si rinvengono intercalazioni di topoziti gessosi, gessi giallastri, gessosi e laminati algali. | gpo | | | | |
| Complesso calcareo-marnoso Marne calcaree e calcari marnosi in strati da sottili a medi, in genere prevalentemente fessilissimi, distanti e marne distorcute laminate e fessili, a luoghi si rinvengono intercalazioni di calcareni talusei, livelli calcidistici e breccie intrafonazionali. | gpo | | | | |

LEGENDA

- XX Sondaggio attrezzato con piezometro a tubo aperto (Norton)
- XX Sondaggio attrezzato con Cella di Casagrande
- XX Sondaggio attrezzato con cella elettrica

Le sigle in alto e in basso indicano rispettivamente il nome del sondaggio e la soggiacenza misurata in marzo 2020 (quando presente).

Isopiezometriche: Equidistanza 5 m. Il numero indica la quota assoluta (m. s. l. m.).
La superficie di falda è stata ipotizzata sulla base delle letture piezometriche effettuate tra novembre 2019 e aprile 2020 ed è da considerarsi rappresentativa del livello più alto nel solo periodo di misura, vista la limitata serie di dati utilizzata non possono essere esclusi superamenti del livello di falda previsto. La geometria della superficie di falda è inoltre da ritenersi puramente indicativa, essendo stata ricostruita sulla base di dati lineari non areali (piezometri allineati lungo il tracciato e assenza di punti di misurazione rettilineo).

➡ Direzione deflusso della falda.

Simbologia

Elementi geologici e strutturali

- Limite di complesso idrogeologico
- - - - - Faglia certa o presunta
- ▲-▲-▲- Sovrascorimento presunto

Elementi idrogeologici

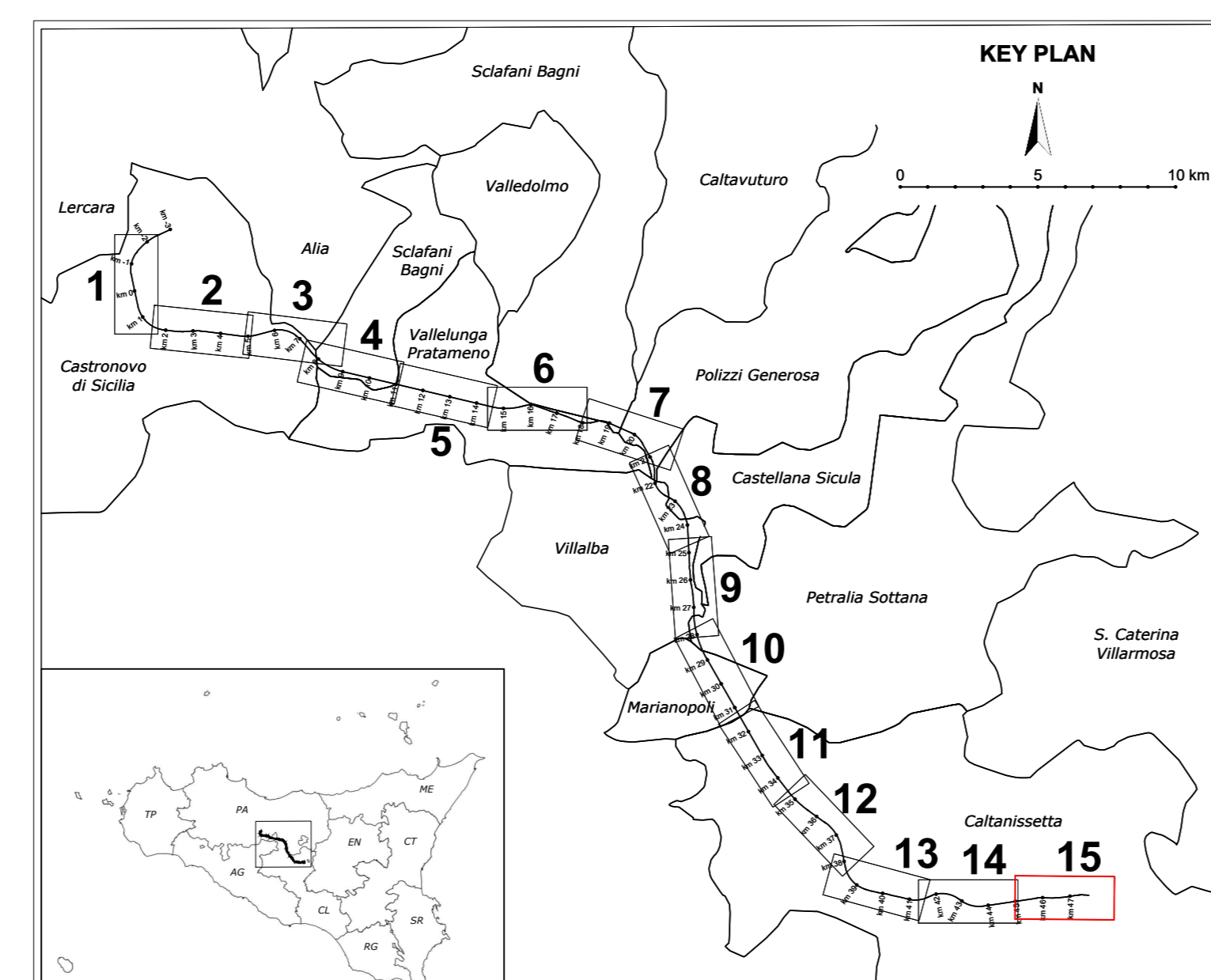
- Sorgente (a), sorgente salina (b), sorgente mineralizzata (c)
- ☑ Puzzo
- ☑ Area unica, acquifero, zona a drenaggio difficoltoso
- ☑ Volcano di fango ("tracollaba")

Altri simboli

- ⌈ Principali ripari artificiali
- ▨ Aree in frana
- ▨ Principali laghi artificiali
- Tracciato dell'opera in progetto

Soggiacenza misurata nei piezometri di progetto (valore espresso in m dal p.c.)

| Codec sondaggio | novembre 2019 | genio 2020 | febbraio 2020 | marzo 2020 | aprile 2020 |
|-----------------|-----------------------|-----------------------|-----------------------|-----------------------|-----------------------|
| Ba-501 | -1,98 | -1,80 | -1,80 | -1,80 | -1,98 |
| Ba-502 | -0,54 | -0,49 | -2,10 | -2,40 | -1,09 |
| Ba-507 | -4,10 | -4,20 | -4,10 | -4,11 | -4,50 |
| Ba-509 | -2,53 | -2,70 | -2,90 | -3,35 | -5,23 |
| Ba-510(a) | -2,25 | -2,17 | -2,30 | -1,99 | -2,19 |
| Ba-512 | -1,00 | -0,20 | -1,00 | -2,19 | -2,48 |
| Ba-514 | -1,40 | -0,78 | -1,20 | -0,97 | -1,16 |
| Ba-515 | -7,20 | -6,70 | -7,20 | -6,82 | -6,94 |
| Ba-517 | -0,81 | -0,81 | -1,30 | -1,30 | -0,81 |
| Ba-518 | -0,58 | -0,50 | -0,70 | -0,31 | -0,59 |
| Ba-519 | -6,18 | -4,58 | -4,52 | -3,64 | -4,09 |
| Ba-521 | -2,55 | -1,34 | -1,24 | -1,12 | -1,24 |
| Ba-GN1-501 | -1,64 | -1,81 | -2,20 | -1,58 | -1,64 |
| Ba-GN1-506 | 0 (in pressione) | 0 (in pressione) | 0 (in pressione) | 0 (in pressione) | 0 (in pressione) |
| Ba-GN1-505 | -57,80 | -57,80 | -57,80 | -57,80 | -57,80 |
| Ba-GN1-506 | 0 (in pressione) | 0 (in pressione) | 0 (in pressione) | 0 (in pressione) | 0 (in pressione) |
| Ba-GN1-507 | -2,10 | -2,20 | -1,00 | -1,03 | -2,36 |
| Ba-GN1-508 | -6,92 | -7,73 | -7,50 | -7,55 | -7,62 |
| Ba-522 | -2,50 | -2,48 | -1,00 | -2,62 | -2,89 |
| Ba-523 | -3,10 | -3,26 | -3,60 | -4,79 | -3,20 |
| Ba-524 | -4,13 | -4,53 | -4,70 | -4,25 | -4,66 |
| Ba-526 | -4,00 | -4,23 | -4,00 | | |
| Ba-529 | -8,05 | -7,86 | -7,90 | -7,39 | -7,78 |
| Ba-531 | -5,00 | -4,80 | -4,60 | -4,47 | -4,67 |
| Ba-532 | -1,00 | -1,07 | -1,12 | -1,10 | -1,09 |
| Ba-533 | -0,73 | -0,91 | -0,90 | | |
| Ba-534 | -0,85 | -1,26 | -1,13 | | |
| Ba-536 | -0,40 | -3,32 | -4,50 | -8,63 | -8,99 |
| Ba-538 | -8,90 | -9,20 | -8,69 | -8,90 | -8,95 |
| Ba-540 | -4,50 | -5,19 | -5,06 | -4,97 | -5,05 |
| Ba-542 | -1,58 | -1,84 | -1,80 | -1,80 | -1,71 |
| Ba-544 | -3,80 | -3,50 | -3,60 | -3,45 | -3,63 |
| Ba-545 | -1,13 | -1,09 | -1,10 | | |
| Ba-548 | -5,42 | -5,71 | -5,43 | -5,78 | |
| Ba-549 | -6,60 | -6,07 | -6,23 | -6,00 | -6,18 |
| Ba-551 | -6,10 | -6,25 | -6,20 | -6,12 | -6,21 |
| Ba-552 | | | | | -0,88 |
| Ba-529(a) | -18,21 | -18,26 | -17,86 | -17,86 | |
| Ba-GN2-501 | -8,20 | -8,20 | -8,20 | -8,17 | |
| Ba-GN2-502 | -30,76 | -29,80 | -10,00 | -10,30 | -10,20 |
| Ba-GN2-504 | 180,00 | 180,00 | -180,20 | 180,80 | 180,80 |
| Ba-GN2-505 | -150,00 | -150,00 | -150,20 | -150,20 | -150,20 |
| Ba-GN2-506 | -22,73 | -22,21 | -22,30 | -22,10 | -22,42 |
| Ba-GN2-507 | -60,60 | -60,87 | -60,30 | -60,10 | -64,11 |
| Ba-GN2-508 | -9,06 | -9,40 | -9,00 | -14,70 | -15,58 |
| Ba-553 | -3,00 | -3,00 | -3,00 | -3,02 | |
| Ba-554 | -5,20 | -5,20 | -5,22 | -5,47 | -5,63 |
| Ba-553(a) | -9,51 | -8,60 | -9,20 | -9,70 | -9,33 |
| Ba-GN3-501 | | | -4,50 | -5,10 | -4,20 |
| Ba-GN3-502 | | | -73,60 | -73,80 | -69,43 |
| Ba-GN3-503 | -0,90 | -2,00 | -3,60 | -3,75 | -3,58 |
| Ba-GN3-504 | | | -3,40 | -3,50 | -3,66 |
| Ba-GN4-501 | | | -2,40 | -2,90 | -2,62 |
| Ba-GN4-502 | 45,00 | falda non ricostruita | falda non ricostruita | falda non ricostruita | falda non ricostruita |
| Ba-556 | -5,70 | -5,70 | -5,40 | -5,18 | |
| Ba-557 | -5,13 | -5,20 | -4,88 | -5,50 | -5,19 |
| Ba-GN5-501 | -1,60 | -3,00 | -3,20 | -1,88 | -2,25 |
| Ba-GN5-503 | -7,55 | -7,30 | -7,20 | -7,30 | -7,08 |
| Ba-558 | -4,50 | -1,74 | -1,35 | -1,40 | -1,10 |
| Ba-559 | -4,00 | -2,40 | -2,33 | -2,70 | -2,30 |
| Ba-564 | -2,45 | -3,00 | -3,60 | -3,85 | -3,60 |
| Ba-565 | -2,50 | -2,90 | -3,00 | -3,25 | -3,06 |
| Ba-567 | 0,80 | -2,90 | -3,35 | -3,30 | -3,41 |
| Ba-569 | -4,60 | -5,07 | -5,23 | -5,35 | -4,98 |
| Ba-GN6-501 | 0,00 | 2,60 | 2,85 | 3,30 | 2,25 |
| Ba-GN6-502 | -51,20 | -50,20 | -50,40 | -50,45 | -48,99 |
| Ba-GN6-503 | -0,82 | -3,31 | -3,56 | -4,00 | -3,44 |
| Ba-GN6-504 | -4,30 | -4,80 | -4,80 | falda non ricostruita | falda non ricostruita |
| Ba-511 | | 2,90 | -3,00 | -2,90 | -2,69 |
| Ba-GN7-501 | falda non ricostruita | 11,00 | -13,56 | -14,10 | -13,11 |
| Ba-GN7-502 | falda non ricostruita | falda non ricostruita | falda non ricostruita | falda non ricostruita | falda non ricostruita |
| Ba-GN7-503 | 28,50 | 27,38 | -16,00 | -16,50 | 11,79 |
| Ba-GN7-504 | -5,50 | -1,40 | -2,20 | -2,45 | -2,23 |
| Ba-GN7-505 | -7,00 | -3,00 | -4,18 | -6,30 | -6,10 |
| Ba-GN8-501 | -4,70 | -4,50 | -4,60 | -3,95 | -3,46 |
| Ba-553 | -0,00 | -0,00 | -1,03 | -1,43 | -0,89 |
| Ba-V04 | -11,20 | -0,70 | -0,90 | -1,43 | -0,69 |
| Ba-V06(a) | 0,00 | 1,20 | -2,38 | -1,88 | 1,66 |
| Ba-V06 | -4,60 | -4,71 | -4,98 | -4,17 | -4,98 |
| Ba-V07 | -7,73 | -8,78 | -8,13 | -8,53 | -8,91 |
| Ba-V09 | -5,10 | -5,56 | -5,60 | -5,47 | -5,35 |
| Ba-V10 | -7,53 | -7,51 | -7,80 | -7,34 | -7,79 |
| Ba-V13 | -0,10 | -1,46 | -2,42 | -3,30 | -3,36 |
| Ba-V20 | | | | | -2,21 |
| Ba-V22 | | -3,54 | -3,24 | | -2,15 |
| Ba-V23 | | 12,92 | -12,88 | | 12,85 |
| Ba-S108 | | | | | -6,75 |
| Ba-S102 | | | | | -3,30 |
| Ba-S103 | | | | | -0,20 |
| Ba-S104 | | | | | -18,47 |
| Ba-S105 | | | | | |
| Ba-S106 | | | | | 2,30 |
| Ba-S107 | | | | | -6,75 |
| Ba-S108 | | | | | -8,87 |
| Ba-S109 | | | | | -6,80 |
| Ba-S110 | | | | | -5,10 |
| Ba-S110(a) | | | | | -1,78 |
| Ba-S110(b) | 2,10 | 1,80 | -1,28 | -1,36 | 1,31 |
| Ba-S111 | 1,10 | 1,50 | -0,90 | -0,90 | 0,40 |
| Ba-S119 | -4,50 | falda non ricostruita | falda non ricostruita | falda non ricostruita | falda non ricostruita |
| Ba-V21a | -6,40 | 6,34 | -6,80 | -6,00 | -5,91 |
| Ba-F01 | 1,76 | 1,20 | -1,10 | 0,64 | 0,74 |
| Ba-F02 | -4,00 | -3,00 | -3,30 | -3,19 | -3,32 |
| Ba-F03 | | -9,85 | -9,12 | -9,70 | -8,90 |
| Ba-F04 | | -21,30 | -22,00 | -22,25 | -22,00 |
| Ba-F01 | -0,20 | -0,90 | -1,43 | -1,67 | |
| Ba-F02 | falda non ricostruita | falda non ricostruita | -39,66 | -45,00 | |
| Ba-F03 | -21,56 | -21,05 | -21,30 | -21,30 | |
| Ba-F04 | -0,80 | -1,00 | -1,00 | -1,10 | |
| Ba2 | | | | | -1,03 |
| Ba4 | | | | | -5,15 |
| Ba6 | | | | | -13,3 |
| Ba5 | | | | | -42,77 |
| Ba7 | | | | | -5,32 |
| Ba8 | | | | | -5,40 |
| Ba11 | | | | | -9,30 |



COMMITTENTE: **RFI** RETE FERROVIARIA ITALIANA GRUPPO FERROVIE DELLO STATO ITALIANI

PROGETTAZIONE: **ITALFERR** GRUPPO FERROVIE DELLO STATO ITALIANI

DIRETTRICE FERROVIARIA MESSINA - CATANIA - PALERMO

NUOVO COLLEGAMENTO PALERMO - CATANIA

U.O. GEOLOGIA TECNICA, DELL'AMBIENTE E DEL TERRITORIO

PROGETTO DEFINITIVO

TRATTA LERCARA - CALTANISSETTA XIRBI

CARTA IDROGEOLOGICA

TAVOLA 8 DI 8

SCALA: 1:5.000

| Rev. | Descrizione | Redatto | Data | Verificato | Data | Approvato | Data | Autorizzato Data |
|------|---------------------|----------|--------|------------|--------|------------|--------|--------------------|
| A | Emissione Esecutiva | Rockafal | Dic 19 | F. Romano | Dic 19 | A. Barroca | Dic 19 | 11. Gennaio Apr 20 |
| B | Emissione Esecutiva | Rockafal | Gen 20 | F. Romano | Gen 20 | A. Barroca | Gen 20 | 11. Gennaio Apr 20 |
| C | Emissione Esecutiva | Rockafal | Apr 20 | F. Romano | Apr 20 | A. Barroca | Apr 20 | 11. Gennaio Apr 20 |

File: RS3T30D0N5GE0002008C n. Elab. 69_64